Responsable : FLÉJOU Jean-Luc Clé : V6.02.111 Révision

3d61d4e60d93

Date: 24/05/2016 Page: 1/7

# SSNL111 - Trois barres thermo-élastoplastiques Von Mises parfait

#### Résumé:

Ce test quasi-statique entre dans le cadre de la validation des relations de comportement élastoplastique. Trois barres thermo-élastoplastiques parfaites, parallèles, rotulées sur un support rigide à une extrémité et rotulées sur une barre rigide à l'autre, subissent un chargement thermique externe.

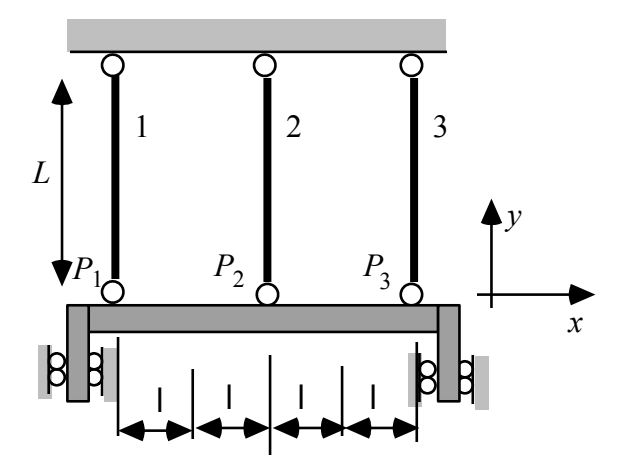
Cette application, où tous les champs sont uniformes dans chaque barre permet de valider 2 types de modélisations numériques : éléments finis massifs (2D contraintes planes), plaques et barres.

Date: 24/05/2016 Page: 2/7 Responsable : FLÉJOU Jean-Luc Clé: V6.02.111 Révision

3d61d4e60d93

## Problème de référence

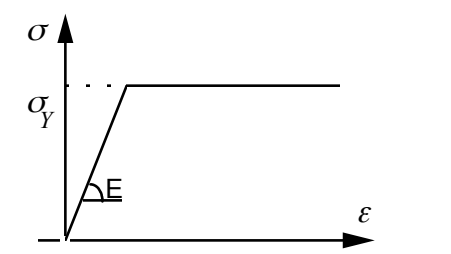
#### 1.1 Géométrie



Les trois barres ont la même longueur  $L=1 \,\mathrm{m}$ , et sont espacées de  $l=1 \,\mathrm{m}$ .

#### 1.2 Propriétés de matériaux

Loi de comportement thermo-élastoplastique parfait standard, avec critère de Von Mises. Les déformations plastiques sont nulles à l'état initial.



E = 200000 MPa

v = 0.3

 $O_V$  = 200 MPa

 $\alpha$  = 0.00001

#### 1.3 Conditions aux limites et chargements

Les trois barres ont un déplacement bloqué suivant Oy aux points extrémités supérieures, où elles sont articulées, et elles sont bridées aux points inférieurs  $P_1, P_2, P_3$ , que l'on peut représenter par un bâti rigide astreint à se déplacer verticalement, de longueur 41 sur lequel sont articulées les trois barres. Les barres sont libres d'effort mécanique.

Le trajet de chargement est décrit par l'évolution de la température, uniforme dans chaque barre (  $T^{max} = 330 \,{}^{\circ}C$ ):

Responsable : FLÉJOU Jean-Luc Clé : V6.02

Date : 24/05/2016 Page : 3/7 Clé : V6.02.111 Révision

3d61d4e60d93

## 2 Solution de référence

## 2.1 Méthode de calcul utilisée pour la solution de référence

Se reporter au document [bib1] qui fournit la solution thermo-élastoplastique.

## 2.2 Résultats de référence

#### Modélisation A

 $\sigma_{yy}$  en P1, P2, P3.

#### Modélisation B

Effort normal N constant sur chaque barre (valeur identique à  $\sigma_{yy}$ , car on a pris une section égale à 1).

## 2.3 Références bibliographiques

• S. ANDRIEUX : TD 1 Trois barres thermoélastoplastiques Von Mises parfait. In « Initiation à la thermoplasticité dans le Code\_Aster », HI-74/96/013 novembre 1996 (manuel de référence du cours).

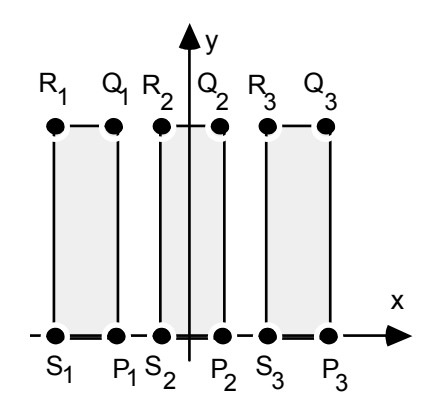
Date: 24/05/2016 Page: 4/7 Révision Responsable : FLÉJOU Jean-Luc Clé: V6.02.111

3d61d4e60d93

#### **Modélisation A** 3

#### 3.1 Caractéristiques de la modélisation

Eléments 2D (QUAD4). Modélisation C PLAN.



#### 3.2 Caractéristiques du maillage

Nombre de nœuds : 12.

Nombre de mailles et types : 3 QUAD4.

#### 3.3 Grandeurs testées et résultats

Identification	Instants	Noeud	Référence	Aster	Ecart %
$\sigma_{vv}$	1	P1	-200	-200.00000	0
$\sigma_{vv}$		P2	100	100.00000	0
$\sigma_{yy}$		Р3	100	100.00000	0
$\sigma_{yy}$	2	P1	-200	-200.00036	1.8 E-4
$\sigma_{yy}$		P2	100	100.00017	1.7 E-4
$\sigma_{vv}$		Р3	100	100.00017	1.7 E-4
$\sigma_{vv}$	3	P1	20	19.99978	–1.1 E–3
$\sigma_{yy}$		P2	<b>–120</b>	-119.99989	-0.8 E-4
$\sigma_{vv}$		Р3	100	100.00010	1 E–4
$\sigma_{vv}$	4	P1	200	200.00060	3 E-4
$\sigma_{vv}$		P2	-100	-100.00008	0.8 E-4
$\sigma_{vv}$		Р3	<b>–100</b>	-100.00008	0.8 E-4
$\sigma_{vv}$	5	P1	200	200.00002	0.1 E-4
$\sigma_{yy}$		P2	-100	-100.00011	1.1 E-4
$\sigma_{yy}$		Р3	-100	-100.00011	1.1 E-4

Responsable : FLÉJOU Jean-Luc

Date : 24/05/2016 Page : 5/7 Clé : V6.02.111 Révision

3d61d4e60d93

## 4 Modélisation B

## 4.1 Caractéristiques de la modélisation

3 éléments 1D (SEG2). Modélisation BARRE

Dans cette modélisation, on a dupliqué le second calcul avec STAT\_NON\_LINE afin de sortir de la zone élastique et ainsi pouvoir faire une validation des déformations anélastiques (EPSP\_ELGA) en plus de la validation des options EPVC\_ELGA et EPME\_ELGA sur les éléments BARRE réalisée sur le calcul élastique.

Pour atteindre ce but on a modifié la section de la barre et les paramètres de non-linéarité du matériau. La section passe à une aire de 1.5 et les paramètres d'écrouissage sont les suivants :

$$D_SIGM_EPSI = 180$$
  
SY = 100.

## 4.2 Caractéristiques du maillage

Nombre de nœuds : 6 Nombre de mailles : 3 SEG2

## 4.3 Grandeurs testées et résultats

#### Calcul élastique :

Identification	Instants	Barre n °	Référence	Aster	Ecart %
effort normal N	1	1	-200	-200	0
effort normal N		2	100	100	0
effort normal N		3	100	100	0
effort normal N	2	1	-200	-200	0
effort normal $N$		2	100	100	0
effort normal $N$		3	100	100	0
effort normal $N$	3	1	20	20	0
effort normal $N$		2	-120	-120	0
effort normal $N$		3	100	100	0
effort normal $N$	4	1	200	200	0
effort normal N		2	<b>–100</b>	-100	0
effort normal $N$		3	<b>–100</b>	-100	0
effort normal $N$	5	1	200	200	0
effort normal $N$		2	-100	-100	0
effort normal $N$		3	-100	-100	0

Instan t	Maille/Po int	Champ/Composan te	Type de référence	Valeur de référence	Tolérance (%)
1.0	BARR1/1	EPSI/EPXX	'NON_REGRESSION'	_	_
2.0	BARR1/1	EPSI/EPXX	'NON REGRESSION'	-	_
3.0	BARR1/1	EPSI/EPXX	'NON_REGRESSION'	-	_
1.0	BARR1/1	EPVC/EPTHER_L	'ANALYTIQUE'	150.0E-5	0,1
2.0	BARR1/1	EPVC/EPTHER_L	'ANALYTIQUE'	330.0E-5	0,1
3.0	BARR1/1	EPVC/EPTHER_L	'ANALYTIQUE'	220.0E-5	0,1

Responsable : FLÉJOU Jean-Luc

Date: 24/05/2016 Page: 6/7 Clé: V6.02.111

Révision

3d61d4e60d93

Instant	Maille/Po int	Champ/Composa nte	Type de référence	Valeur de référence	Tolérance (%)
1.0	BARR1/1	EPME/EPXX	'ANALYTIQUE'	-1.0E-3	0,1
2.0	BARR1/1	EPME/EPXX	'ANALYTIQUE'	-22.0E-4	0,1
3.0	BARR1/1	EPME/EPXX	'ANALYTIQUE'	0.	0,1

### Calcul non-linéaire :

Instant	Maille/Poi nt	Champ/Compos ante	Type de référence	Valeur de référence	Tolérance (%)
1.0	BARR1/1	SIEF/SIXX	'NON_REGRESSION'	_	_
1.0	BARR1/1	EPME/EPXX	'NON_REGRESSION'	_	_
1.0	BARR1/1	EPSP/EPXX	'NON REGRESSION'	-	_

Responsable : FLÉJOU Jean-Luc

Date : 24/05/2016 Page : 7/7 Clé : V6.02.111 Révision

3d61d4e60d93

## 5 Synthèse des résultats

Les résultats fournis par Code\_Aster sont en excellent accord avec la solution analytique.